

# УСИЛИТЕЛЬ ГАРМОНИК ТИПА ЛБВМ С ГРУППИРОВАНИЕМ ПОТОКА НА ОСНОВНОЙ ЧАСТОТЕ (теория слабого сигнала)

Г. А. Алексеев

Харьков

В работе [1] указывается на возможность создания электронных умножителей частоты и усилителей миллиметрового диапазона на базе секционированных (каскадных) приборов *M*-типа. В подобных устройствах используется предварительная модуляция и группирование электронного потока полем основной частоты и последующее взаимодействие сгруппированного потока в секции *M*-типа с полем высшей временной гармоники. Предварительная модуляция потока осуществляется также секцией *M*-типа либо с помощью любого другого моделирующего устройства.

К достоинствам указанных приборов следует отнести возможность получения высокой частотной стабильности выходного сигнала, определяемой стабильностью модулирующего сигнала низкой частоты; более высокий, чем в аналогичных конструкциях *O*-типа, коэффициент полезного действия; облегченные режимы питания и возбуждения съемной секции.

Условия возбуждения высших временных гармоник в приборах *M*-типа изучались в работах [2, 3], однако широкие экспериментальные исследования приборов *M*-типа с предварительным группированием электронного потока отсутствуют. Полностью отсутствуют также теоретические работы. Между тем выяснение физических особенностей работы, определение оптимальных режимов модуляции и съема мощности, изучение влияния участков дрейфа между модулирующей секцией и секцией отбора мощности представляют значительный интерес. В настоящей работе исследуется одна из возможных реализаций прибора с предварительным группированием потока-усилитель гармоник типа ЛБВМ плоской конструкции с инжектируемым электронным потоком. Исследование проведено для режима слабых модулирующего и усиливаемого сигналов в кинематическом приближении без учета сил пространственного заряда. Рассматривается случай односекционного и двухсекционного взаимодействия.

## 1. Односекционный усилитель гармоник типа ЛБВМ

Схематическое изображение рассматриваемого прибора и принятые обозначения представлены на рис. 1.

Предполагается, что высокочастотное поле в пространстве взаимодействия в отсутствие пучка описывается двумя гармониками  $\vec{E}_\omega$ ,  $\vec{E}_p$ , имеющими различные, но кратные частоты  $\omega$ ,  $p\omega$  и фазовые скорости  $v_\omega$ ,  $v_p$ , близкие к скорости  $v_0 = E_0 B_0^{-1}$  невозмущенного прямолинейного электронного потока.

В работе [3] в качестве системы, удовлетворяющей указанным условиям, в цилиндрическом магнетроне использована разно-резонаторная система. В общем случае для правильного выбора замедляющей системы необходимо знать ее дисперсионные характеристики в основной и высших полосах пропускания.

Рассматривая режим слабого модулирующего  $\vec{E}_\omega$  и усиливаемого  $\vec{E}_p$  сигналов, составляющие полей гармоник в пространстве взаимодействия можно записать следующим образом:

$$\begin{aligned} E_{\omega x} &= \operatorname{Re} i A_\omega \varphi_{\omega x}(x) \exp(i\omega t - \Gamma_\omega z); \\ E_{\omega z} &= \operatorname{Re} A_\omega \varphi_{\omega z}(x) \exp(i\omega t - \Gamma_\omega z); \\ E_{px} &= \operatorname{Re} i A_p \varphi_{px}(x) \exp(ip\omega t - \Gamma_p z - i\varphi); \\ E_{pz} &= \operatorname{Re} A_p \varphi_{pz}(x) \exp(ip\omega t - \Gamma_p z - i\varphi), \end{aligned} \quad (1)$$

где  $A_\omega, A_p$  — амплитуды,  
 $z$  — компоненты напряженности поля на уровне замедляющей системы;

$$\Gamma_\omega = i\beta_\omega - \gamma_\omega;$$

$\Gamma_p = i\beta_p - \gamma_p$  — постоянные распространения соответствующих гармоник;  
 $\varphi$  — фазовый сдвиг между пространственными гармониками.

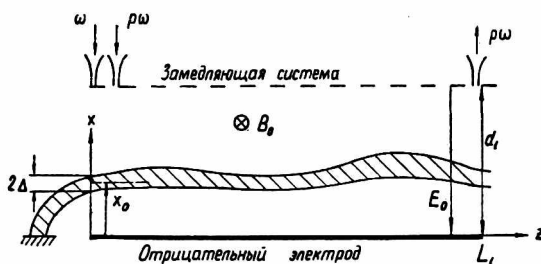


Рис. 1.

Для заданной конструкции (рис. 1).

$$\begin{aligned} \varphi_{\omega x} &= \frac{\operatorname{ch} \beta_\omega x}{\operatorname{sh} \beta_\omega d_1}; & \varphi_{px} &= \frac{\operatorname{ch} \beta_p x}{\operatorname{sh} \beta_p d_1}; \\ \varphi_{\omega z} &= \frac{\operatorname{sh} \beta_\omega x}{\operatorname{sh} \beta_\omega d_1}; & \varphi_{pz} &= \frac{\operatorname{sh} \beta_p x}{\operatorname{sh} \beta_p d_1}. \end{aligned} \quad (2)$$

Используя линеаризованные в адиабатическом приближении уравнения движения и линеаризованные уравнения непрерывности [4, 5], можно записать для переменных составляющих скорости электронов

$$\begin{aligned} \tilde{v}_x &= -\frac{1}{B_0} (E_{\omega z} + E_{pz}); \\ \tilde{v}_z &= \frac{1}{B_0} (E_{\omega x} + E_{px}) \end{aligned} \quad (3)$$

(с точностью до членов порядка  $\frac{\omega}{\omega_{\text{цикл}}} \left\{ \frac{A_\omega}{E_0}; \frac{pA_p}{E_0}; \frac{|v_\omega - v_0|}{v_0}; p \frac{|v_p - v_0|}{v_0} \right\}$ )

и, пренебрегая влиянием поля высшей гармоники на группирование потока, что соответствует использованию метода заданного тока и воз-

можно при условии  $A_p |v_p - v_0|^{-1} \ll A_\omega |v_\omega - v_0|^{-1} \ll E_0 v_0^{-1}$ , для отклонений электронов от равновесной траектории в поперечном направлении

$$\delta X(x) \approx \delta X_\omega = -\frac{A_\omega}{E_0} \varphi_\omega(x) e^{i\omega z} [\gamma_\omega^2 + (\beta_\omega - \beta_0)^2]^{-1} \cdot$$

$$[\gamma_\omega \cos(\omega t - \beta_\omega z) + (\beta_0 - \beta_\omega) \sin(\omega t - \beta_\omega z)], \quad (4)$$

$$\left(\beta_0 = \frac{\omega}{v_0}\right),$$

причем плотность пространственного заряда в пучке остается постоянной и равной плотности невозмущенного потока.

Проанализируем усиление в системе поля высшей временной гармоники  $\vec{E}_p$ , которое может происходить при взаимодействии ее с потоком, сгруппированным полем гармоники  $\vec{E}_\omega$ . Усредняя по периоду основной частоты, для мощности взаимодействия сгруппированного потока с полем  $\vec{E}_p$  получим

$$P_e = \frac{1}{2} \operatorname{Re} \int_0^{L_1} [(\vec{j} | \vec{E}_p |) dx]_p \exp[i(\beta_p - p\beta_\omega)z + \varphi] dz, \quad (5)$$

где знак  $[ ]_p$  обозначает комплексную амплитуду Фурье-компоненты с частотой  $p\omega$  соответствующей величины и интегрирование по поперечному сечению пучка производится в пределах

$$x_0 - \Delta + \delta X(x_0 - \Delta); \quad x_0 + \Delta + \delta X(x_0 + \Delta).$$

После однократного интегрирования

$$P_e = \frac{\omega j_0 A_p}{4\pi\beta_p \operatorname{sh} \beta_p d_1} \int_0^{L_1} dz e^{i p z} \int_{-\frac{\pi}{\omega}}^{\frac{\pi}{\omega}} d\left(t - \frac{z}{v_\omega}\right) \{ \cos[(\beta_p - p\beta_\omega)z + \varphi] \times$$

$$\times \cos(p\omega t - p\beta_\omega z) + \sin[(\beta_p - p\beta_\omega)z + \varphi] \sin(p\omega t - p\beta_\omega z) \} \times \quad (6)$$

$$\times \{ \operatorname{ch} \beta_p [x_0 + \Delta + \delta X(x_0 + \Delta)] - \operatorname{ch} \beta_p [x_0 - \Delta + \delta X(x_0 - \Delta)] \} =$$

$$= I_0 A_p L_1 \Phi_1(\gamma_2).$$

Здесь  $I_0$  — постоянная составляющая тока пучка;

$\Phi_1(\gamma_2)$  — безразмерная функция.

$$\Phi_1(\gamma_2) = (4\pi p b R_2 \operatorname{sh} \nu p B R_2)^{-1} \int_0^1 d\zeta e^{i\zeta} \int_{-\pi}^{\pi} d\tau \times \quad (7)$$

$$\times \{ \cos[(R_2 - 1)pN\zeta + \varphi] \cos p\tau + \sin[(R_2 - 1)pN\zeta + \varphi] \sin p\tau \} \times$$

$$\times \{ \operatorname{ch} p R_2 [B + b + \operatorname{sh}(B + b) f(\zeta, \tau)] - \operatorname{ch} p R_2 [B - b + \operatorname{sh}(B - b) f(\zeta, \tau)] \},$$

где

$$f(\zeta, \tau) = -\frac{\alpha_1 N e^{i\zeta}}{\operatorname{sh} \nu B [\gamma_1^2 + N^2 (R_1 - 1)^2]} [\gamma_1 \cos \tau + N (R_1 - 1) \sin \tau]$$

и безразмерные параметры введены следующим образом:

$$b = \beta_\omega \Delta; \quad \gamma_1 = \gamma_\omega L_1;$$

$$B = \beta_\omega x_0; \quad \gamma_2 = \gamma_p L_1;$$

$$N = \beta_\omega L_1; \quad R_1 = v_\omega v_p^{-1}; \quad (7a)$$

$$\nu = \frac{d_1}{x_0}; \quad R_2 = v_\omega v_p^{-1};$$

$$\alpha_1 = A_\omega E_0^{-1}; \quad \alpha_2 = A_p E_0^{-1}$$

При выводе соотношения (6) использовались, как было указано ранее, результаты линейной теории ЛБВМ приборов, применяемые только при условии  $\beta_p \delta X_\omega \ll 1$  (слабый модулирующий сигнал). В случае, когда возмущения границ потока полей основной гармоники малы также по сравнению с длиной волны высшей гармоники, т. е.  $\beta_p \delta X_\omega \ll 1$ ,

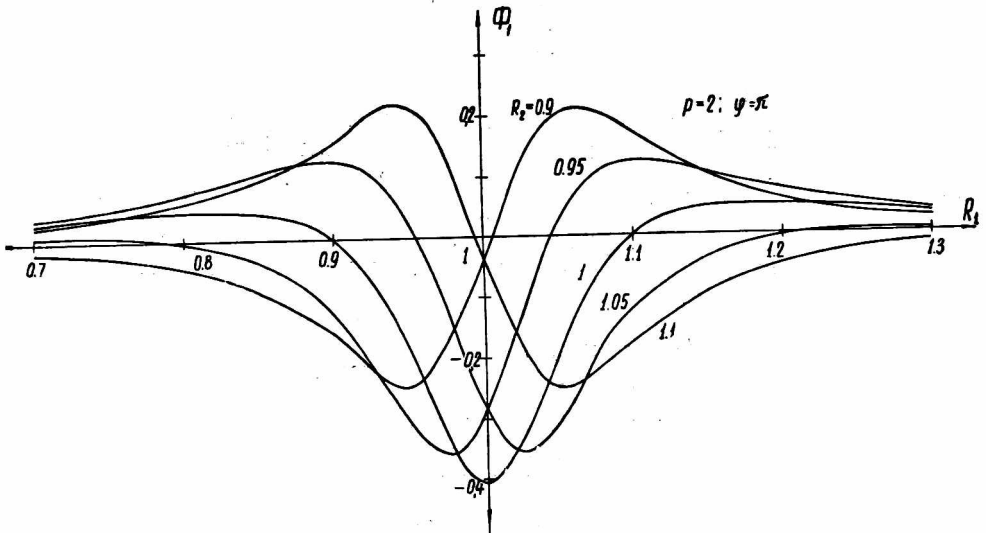


Рис. 2.

результат можно существенно упростить, произведя в (6) разложение  $\text{ch}$  по степеням  $\beta_p \delta X$  с последующим интегрированием. Например, для случая синхронизма  $\beta_\omega = \frac{1}{p} \beta_p = \beta_0$ ; ( $R_1 = R_2 = 1$ ) получим

$$\Phi_1(\gamma_2) = (-1)^p \cos \varphi \frac{a_1^p}{\gamma_2 + p\gamma_1} C [\exp(\gamma_2 + p\gamma_1) - 1], \quad (8)$$

где

$$C = \frac{p^{p-2} \beta_\omega^p}{2^{p+1} (p-1)! b \gamma_\omega^p \text{sh } \nu p B \text{sh } \nu B} \times \\ \times \left[ \text{sh}^p(B+b) \frac{d^p \text{ch } x}{dx^p} \Big|_{x=p(B+b)} - \text{sh}^p(B-b) \frac{d^p \text{ch } x}{dx^p} \Big|_{x=p(B-b)} \right].$$

Соотношение (8) характеризует основные зависимости мощности взаимодействия от различных параметров. Однако в более общем случае, когда условие  $\beta_p \cdot \delta X \ll 1$  не выполняется, необходим численный расчет функции  $\Phi_1$ .

Кривые зависимостей  $\Phi_1$  от параметров рассинхронизма  $R_1, R_2$ , от амплитуды модулирующего сигнала  $a_1$ , полученные с помощью ЭВМ для различных временных гармоник, представлены на рис. 2–3. Остальные параметры при расчете выбирались равными:

$$b = 0,1; \quad B = 0,55; \quad N = 10; \quad \nu = 2; \\ \gamma_1 = \gamma_2 = 1; \quad a_1 = 0,02.$$

Фазовый сдвиг  $\varphi$  между модулирующей и усиливаемой гармониками поля был выбран равным  $(p-1)\pi$ , что соответствует максимальной передаче энергии полю.

Пунктиром на рис. 3 обозначены кривые зависимостей  $P_1(\alpha_1)$  для второй и третьей гармоник, построенные с помощью соотношения (8). Сравнение кривых рис. 3 показывает, что относительная погрешность при использовании (8) увеличивается с ростом амплитуды модулирующего сигнала  $\alpha_1$  и номера гармоники  $p$ .

Из рис. 2 следует, что оптимальными условиями модуляции  $-\varphi$  и усиления сигнала являются условия полного синхронизма ( $R_1 = R_2 = 1$ ). При невыполнении одного из условий ( $R_1 \neq 1$  или  $R_2 \neq 1$ ) условие максимизации  $P_e$  по другому параметру может отличаться от требования синхронизма и кривые зависимости  $P_e(L_1)$  осциллируют с ростом  $L_1$ . Из рис. 3 видно, что с увеличением амплитуды модулирующего сигнала должен увеличиваться коэффициент усиления сигнала гармоники. Приравнявая  $P_e$  потоку мощности в линии передачи на частоте  $p\omega$ , для амплитудной постоянной распространения в случае полного синхронизма ( $R_1 = R_2 = 1$ ) можно записать уравнение

$$\alpha_2 e^{2\gamma_2} + p^2 D^2 N \Phi_1(\gamma_2) = 0, \tag{9}$$

где  $D^2 = \frac{\beta_0 J_0 K p}{E_0}$ ;

$D$  — параметр усиления;

$K_p$  — сопротивление связи  $p$ -й гармоники на уровне замедляющей системы. Коэффициент усиления  $G$  (дБ)  $\approx 8,7 \gamma_2$ .

Параметр  $\gamma_1$ , входящий в (9), необходимо определить из уравнения баланса мощностей для основной гармоники. Кривые зависимостей  $G(\alpha_1)$  для различных гармоник, рассчитанные указанным методом для случая  $D = 0,11$ ,  $\alpha_2 = 0,005$ ,  $\gamma_1 = 1$ , приведены на рис. 4 (пунктир) и показывают, что коэффициент усиления сигнала гармоники существенно зависит от амплитуды модулирующего сигнала. На рис. 5 (пунктир) приведены кривые зависимостей коэффициента преобразования прибора, который в данном случае можно определить как отношение мощности взаимодействия поля гармоники  $P_i(p)$  к мощности взаимодействия усиливаемого сигнала на основной частоте, от номера гармоники  $p$ . Как видно из рис. 4, при малых  $\alpha_1$  ( $\alpha_1 = 0,01 \div 0,03$ ) коэффициент преобразования довольно быстро падает с ростом номера гармоники. Такой быстрый спад объясняется использованием при определении возмущенных границ потока линеаризованных уравнений движения и показывает, что модуляция электронного потока полем основной частоты в режиме слабого сигнала в энергетическом отношении малоэффективна. С ростом амплитуды модулирующего сигнала быстрота спада коэффициента преобразования уменьшается и, как было отмечено ранее, увеличивается коэффициент усиления. Однако уже при  $\alpha_1 = 0,04 \div 0,05$  кривые рис. 4 и рис. 5 дают завышенные значения коэффициентов уси-

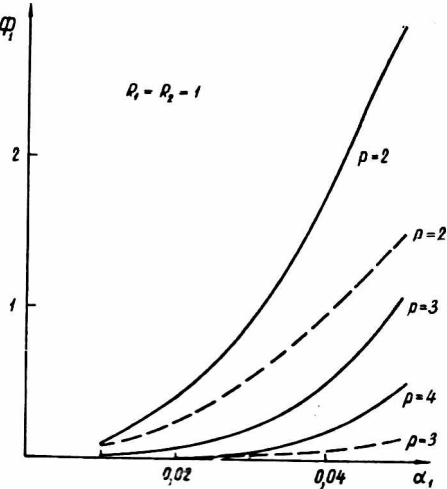


Рис. 3.

ления и преобразования, так как при данных значениях  $\alpha_1$  условие применимости теории  $\beta_\omega \delta X \ll 1$  выполняется неудовлетворительно ( $\beta_\omega \delta X = 0,7$  при  $\alpha_1 = 0,05$ ). Для более точных оценок в области больших  $\alpha_1$  необходимо привлекать результаты нелинейной теории приборов типа ЛБВМ.

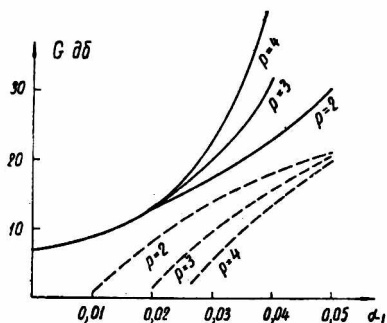


Рис. 4.

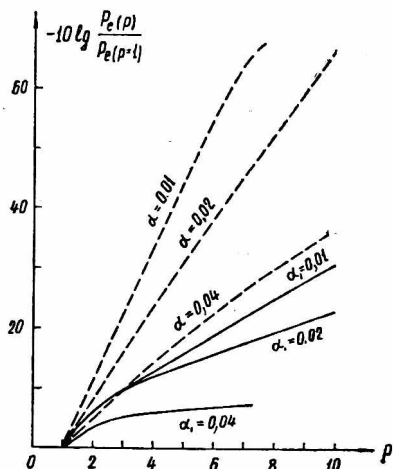


Рис. 5.

## 2. Двухсекционный усилитель гармоник типа ЛБВМ

Техническое изготовление замедляющей системы, рассчитанной на одновременное выполнение условий синхронизма временных гармоник в различных полосах пропускания, в миллиметровом диапазоне волн представляет существенные трудности. Это одна из причин секционирования прибора, при котором функции модуляции потока и отбора мощности осуществляются с помощью пространственно разнесенных элементов. Рассмотрим случай, когда в первом и втором каскадах усилителя гармоник используются секции типа ЛБВМ. Схема прибора приведена на рис. 6; предполагается, что каскады развязаны по высокой частоте и поля в первой и второй секции определены соответственно соотношениями (1).

В отличие от предыдущего раздела, в котором влиянием поля высшей гармоники на электронный поток пренебрегалось, здесь учитывается влияние поля гармоники на предварительно сгруппированный поток. Предварительная модуляция потока в первой секции приводит к изменению начальных условий (скоростей и координат) на входе второй секции. Распределения скоростей и отклонений крайних электронов сгруппированного потока описываются соотношениями

$$\begin{aligned} \tilde{v}_x &= -\frac{1}{B_0} A_{\omega\varphi_{\omega z}}(x) e^{\gamma_{\omega} L_1} \cos(\omega t - \beta_{\omega} L_1); \\ \tilde{v}_z &= v_0 - \frac{1}{B_0} A_{\omega\varphi_{\omega x}}(x) e^{\gamma_{\omega} L_1} \sin(\omega t - \beta_{\omega} L_1); \\ \delta X_{\omega}^{\pm} &= \frac{-A_{\omega\varphi_{\omega z}}(x = x_0 \pm \Delta)}{E_0 [\gamma_{\omega}^2 + (\beta_{\omega} - \beta_0)^2]} e^{\gamma_{\omega} L_1} [\gamma_{\omega} \cos(\omega t - \beta_{\omega} L_1) + \\ &\quad + (\beta_0 - \beta_{\omega}) \sin(\omega t - \beta_{\omega} L_1)], \end{aligned} \quad (10)$$

$$(11)$$

где знак «+» соответствует крайнему верхнему электрону, знак «-» крайнему нижнему.

Используя при дальнейшем анализе усредненные по периоду циклотронных колебаний (при условии  $\rho\omega_{цикл}^{-1} \ll 1$ ) уравнения движения [6], легко показать, что предварительное возмущение границ электронного потока (11) переносится в пространстве взаимодействия второй секции (предполагается, что пространство дрейфа между секциями отсутствует)

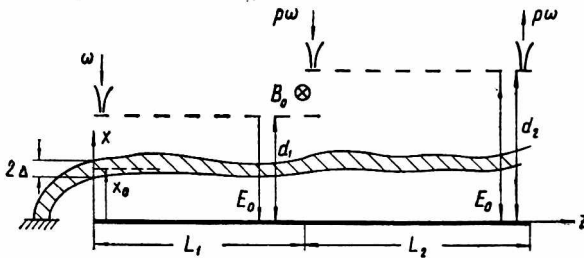


Рис. 6.

со скоростью  $v_0$  равновесного потока и что средняя мощность взаимодействия потока с полем во второй секции описывается соотношениями, аналогичными (5) — (6):

$$P_e = \frac{j_0 A_p}{4\pi\beta_p \text{sh } \beta_p d_2} \int_0^{L_2} dz e^{\gamma_p z} \int_{-\pi}^{\pi} d\tau \{ \cos[(\beta_p - \rho\beta_0)z + \varphi_1] \times \\ \times \cos p\tau + \sin[(\beta_p - \rho\beta_0)z + \varphi_1] \sin p\tau \} \{ \text{ch } \beta_p [x_0 + \Delta^+ + \\ + \delta X_p(x = x_0 + \Delta^+)] - \text{ch } \beta_p [x_0 - \Delta^- + \delta X_p(x = x_0 - \Delta^-)] \} = \\ = I_0 A_p L_2 \Phi_2(\gamma_2), \tag{12}$$

где  $\tau = \omega t - \beta_0 z - \beta_\omega L_1$ ;  $\varphi_1 = (\beta_p - \rho\beta_\omega) L_1 + \varphi$ ;

$$\delta X_p(x) = - \frac{A_p \varphi_{pz}(x)}{E_0 [\gamma_p^2 + (\rho\beta_0 - \beta_p)^2]} e^{\gamma_p z} [\gamma_p \cos(\rho\omega t - \\ - \beta_p z - \varphi) + (\rho\beta_0 - \beta_p) \sin(\rho\omega t - \beta_p z - \varphi)]; \tag{13}$$

$\Delta^+ = \Delta + \delta X_\omega^+$ ;  $\Delta^- = \Delta - \delta X_\omega^-$ ; — координаты крайних электронов сгруппированного потока на входе второй секции;

$\Phi_2$  — безразмерная функция.

Соотношение (12) проанализировано с помощью ЭВМ для случая синхронизма ( $R_1 = R_2 = 1$ ) при  $d_1 = d_2$ ;  $L_1 = L_2$ . Результаты расчета функции  $\Phi_2$  представлены на рис. 7, который иллюстрирует зависимость мощности взаимодействия от фазы усиливаемого сигнала, определяет оптимальное значение фазового сдвига  $\varphi$  между гармониками, равное, как было указано ранее,  $(\rho - 1)\pi$  и отражает, в частности, «эффект подавления» входного сигнала ( $\Phi_2 < 0$ ), хорошо известный в теории и практике ЛБВ-усилителей с предварительной модуляцией [7].

Зависимости коэффициента усиления и коэффициента преобразования сигнала гармоники от амплитуды модулирующего сигнала  $a_1$ , коэффициента умножения  $\rho$  при заданной амплитуде  $a_2 = 0,005$ ;  $D = 0,11$  и оптимальных  $\varphi$  представлены на рис. 4—5 сплошными кривыми.

Приведенные кривые позволяют уточнить область применимости приближения, использованного в первом параграфе, и оценить величину коэффициента усиления и коэффициента преобразования сигнала высшей гармоники с предварительным группированием потока в двухсекционном усилителе типа ЛБВМ.

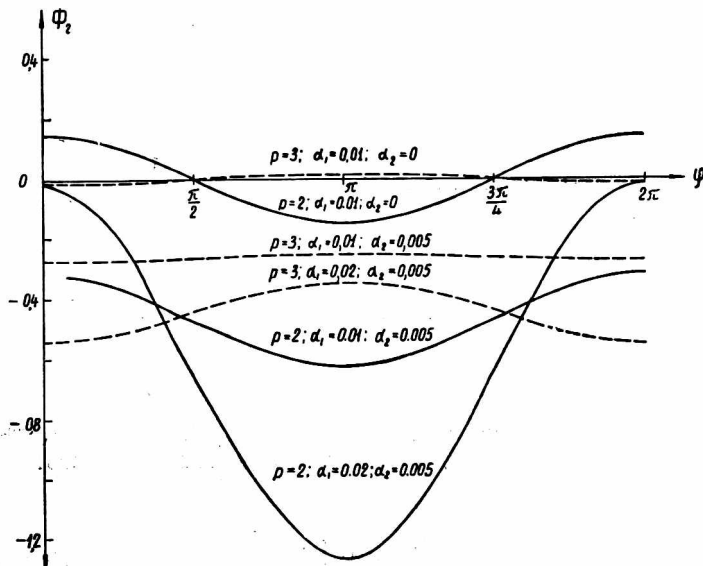


Рис. 7.

## ЛИТЕРАТУРА

1. Л. А. Поспелов, А. Я. Усиков. УФЖ, 15, № 5, 764, (1970).
2. Oserchuk I. M. Frequency, 5, № 3, 32, (1967).
3. Strauss W., Kroll N. Proc. IEEE, 52, № 8, 884, (1964).
4. В. С. Стальмахов. Основы электроники сверхвысокочастотных приборов со скрещенными полями. Изд-во «Советское радио», 1963.
5. В. Н. Шевчик. Взаимодействие электронных пучков с электромагнитными волнами. Изд-во СГУ, 1963.
6. П. Л. Капица. Электроника Сольших мощностей. Изд-во АН СССР, 1962.
7. Г. А. Козлов, Г. М. Корноухов, Б. Г. Цикин. Вопросы электроники СВЧ. Вып. 5, изд-во СГУ, 1969.